

بەنام خداوند جان و خر

۱۹۸۷



دانشگاه شهید بهشتی

دانشکده علوم

گروه فیزیک

پایان نامه دوره کارشناسی ارشد فیزیک

عنوان :

بررسی ویژه مقادیر ماتریس جرم نوتريینوها

دانشجو :

شیرین صبوری

استاد راهنما :

دکتر سیامک سادات گوشه

استاد مشاور :

دکتر مهرداد فرهودی

۱۳۸۸/۱۲/۲

تاریخ دفاع : خرداد ماه ۱۳۸۸

۱۳۱۶۲۶



دانشگاه شهید بهشتی

تاریخ
شماره
پیوست

بسمه تعالیٰ

«صور تجلیسه دفاع پایان نامه دانشجویان دوره کارشناسی ارشد»

ن ۱۴۰۲۹۶۳۱۱۴ اوین

۲۹۹۰۴:

بازگشت به مجوز دفاع شماره ۷۱۳ / ۲۰۰ / ۳ / ۱۱ مورخ ۸۸ / ۳ / ۱۱ جلسه هیأت
داوران ارزیابی پایان نامه خانم شیرین صبوری به شماره شناسنامه ۸۵۱۸ صادره
از تهران متولد ۱۳۶۱ دانشجوی دوره کارشناسی ارشد ناپیوسته رشته فیزیک - ذرات
بنیادی و نظریه میدانها
با عنوان :

بررسی ویژه مقادیر ماتریس جرم نوترینوها

به راهنمائی:

آقای دکتر سیامک سادات گوشه

طبق دعوت قبلی در تاریخ ۸۸ / ۳ / ۲۵ تشکیل گردید و براساس رأی هیأت داوری و
با عنایت به ماده ۲۰ آئین نامه کارشناسی ارشد مورخ ۷۵ / ۱۰ / ۲۵ پایان نامه
مذبور با نمره ۵/۱۸ ادرجه عالی مورد تصویب قرار گرفت.

۱- استاد راهنمای: آقای دکتر سیامک سادات گوشه

۲- استاد مشاور: آقای دکتر مهرداد فرهودی

۳- استاد داور: آقای دکتر شهریار عباجی

۴- استاد داور: آقای دکتر شهریار بایگان

تقديم به :

خاتناده عزيزم

با تشکر و سپاس فراوان از استاد گرانقدر جناب آقای دکتر گوشه که علاوه بر هدایت اینجانب به صورت مستقیم در انجام این پایان نامه به عنوان استاد راهنمای ، با تدریس بی نظیر شان در دروس اختصاصی دوران کارشناسی ارشد زمینه علمی لازم جهت انجام این پروژه را برایم فراهم نمودند.

چکیده :

مطالعات صورت گرفته در این پژوهه، بر نوسانات نوترینو و بررسی مقایسه ویژه مقادیر جرم نوترینوها با حدود بالای جرم آنها، حاصل از نتایج آخرین آزمایشات، تمرکز یافته است.

در ابتدا به بررسی نوسانات نوترینو به عنوان گواهی قطعی بر جرم دار بودن نوترینو، ماهیت ماتریس درهم ریختگی* در برهمکنش های ضعیف، و چگونگی جرم دار شدن فرمیون ها در مدل استاندارد پرداخته شده است. سپس، یافتن ویژه مقادیر جرم نوترینوها (بصورت خاص، برای حالتی که شامل دو طعم نوترینو باشد) مورد نظر قرار گرفته و در پایان، به بررسی نتایج حاصل از مقایسه ویژه مقادیر بدست آمده، با مقادیر حاصل از مطالعات تجربی که حدود بالای جرم نوترینوها را بدست می دهند، پرداخته شده است.

نهایتاً با این مقایسه، به شرط الزام مثبت بودن دترمینان زیر- ماتریس جرم مایر اانا دست یافته ایم.

کلید واژه ها:

نوترینو
نوسانات نوترینو
ماتریس درهم ریختگی
ماتریس جرم
ویژه مقادیر جرم نوترینو ها

*Mixing Matrix

فهرست مطالب

فصل اول - پی بردن به جرم دار بودن نوتروینو

- | | |
|---|--|
| ۱ | ۱-۱ مقدمه |
| ۲ | ۲-۱ تاریخچه خلاصه‌ای از نوتروینو‌ها و جرمشان |

فصل دوم - پدیده شناسی نوسانات نوتروینو

- | | |
|---|------------------------------------|
| ۵ | ۲-۲ نوسانات نوتروینو |
| ۸ | ۲-۲ بررسی ماتریس درهم ریختگی (CKM) |

فصل سوم - بررسی جمله جرمی نوتروینو در مدل استاندارد

- | | |
|----|---|
| ۱۳ | ۱-۳ جملات جرم در لاگرانژی مدل استاندارد |
| ۱۴ | ۲-۳ تقارن ضروری سیستم |
| ۱۵ | ۳-۳ ناوردایی پیمانه‌ای موضعی $U(1)$ و QED |

الف

| | | |
|----|---|------|
| ۱۷ | بوزون های پیمانه ای جرم دار | ۴-۳ |
| ۱۷ | شکست خودبخودی تقارن "تقارن پنهان" | ۵-۳ |
| ۲۰ | شکست خودبخودی یک تقارن پیمانه ای سراسری | ۶-۳ |
| ۲۲ | ساز و کار هیگز | ۷-۳ |
| ۲۴ | شکست خودبخودی تقارن پیمانه ای موضعی $SU(2)$ | ۸-۳ |
| ۲۸ | برهمکنشهای الکترو - ضعیف | ۹-۳ |
| ۳۱ | انتخاب میدان هیگز | ۱۰-۳ |
| ۳۳ | جرم بوزون های پیمانه ای | ۱۱-۳ |
| ۳۵ | جرم فرمیون ها | ۱۲-۳ |

فصل چهارم - یافتن ویژه مقادیر جرم نوترینوها

| | | |
|----|--|-----|
| ۳۸ | جمله جرمی کل نوترینو در لاگرانژی | ۱-۴ |
| ۳۹ | یافتن ویژه پایه های جمله جرمی کل و ساز و کار see-saw | ۲-۴ |
| ۴۵ | بسط ساز و کار see-saw برای دو نوترینو | ۳-۴ |
| ۶۵ | نتایج | ۴-۴ |

مراجع

فهرست جداول

۴

جدول (۱-۱) حدود بالایی جرم نوترینوها

۶۲

جدول (۱-۴) : نتایج گروه اول اعداد

۶۳

جدول (۲-۴) : نتایج گروه دوم اعداد

۶۴

جدول (۳-۴) : نتایج گروه سوم اعداد

فهرست شکل ها

۸

شکل (۱-۲) دو حالت ممکن جفت شدگی کوارک u با W^-

۹

شکل (۲-۲) واپاشی $K^{\circ} \rightarrow \mu^+ + \mu^-$

۹

شکل (۳-۲) دو حالت ممکن جفت شدگی کوارک c با W^-

۱۰

شکل (۲-۴) ساز و کار GIM

۱۸

شکل (۱-۳) پتانسیل V با (a) $\mu^2 < 0$ و (b) $\mu^2 > 0$

۲۰

شکل (۲-۳) پتانسیل (φ) و حلقه کمینه پتانسیل

۱-۱ مقدمه

فصل اول

پی بردن به جرم دار بودن نوترینو

نوترینوها از فراوانترین ذرات و تشکیل دهنده های بنیادی جهان می باشند . آنها در عرض چند ثانیه پس از انفجار بزرگ در ابتدای عالم به مقدار بسیار زیاد تولید شدند، که به ایجاد تقریبا ۱۰ میلیارد نوترینو به ازای هر الکترون یا پروتون موجود درجهان انجامید. آنها همچنین به میزان بسیار زیادی در فرآیندهای هسته ای سوخت ستاره هایی مانند خورشید تولید می شوند که منجر به وجود تقریبا ۱۰۰ میلیارد نوترینو خورشیدی گذرنده از هر سانتی متر مربع از زمین در هر ثانیه می شود . علی رقم فراوانی این ذرات ، آشکارسازی آنها بسیار مشکل است ، که منجر به ناشناخته ماندن برخی از بنیادیترین ویژگی های آنها ، مانند جرمشان ، شده است . موضوع وجود جرم محدود نوترینوها و درهم ریختگی طعم^{*} آنها تا همین اوخر ناشناخته بوده و اکنون از موضوعات مهم فیزیک اثری بالا ، فیزیک ذرات بنیادی و کیهان شناسی می باشد .

از نظر تاریخی اولین نا هنجاریهای نوترینو در نوترینوهای خورشیدی حدود چهل سال پیش آشکار شد . در همان ایام ، دانشمندان با استفاده از مدلهای خورشیدی و محاسبات فیزیک هسته ای مقدار شار بر روی زمین را تخمین زده بودند.اما مقدار شار ν_e اندازه گیری شده به میزان قابل توجهی(تقریبا $2/3$) از این مقدار تخمین زده شده کمتر بود. یک راه حل نیوگ آمیز در آن زمان با پیشنهاد این مسئله که ν_e در مسیر به ν_{μ} و ν_{τ} تبدیل می شود ارائه شد.

نوسانات نوترینوها یکی از پدیده هایی است که مستقیما وجود جرم غیر صفر نوترینوها و درهم ریختگی طعم در بخش لپتونی را اثبات می کند.

*Flavor Mixing

۱-۲ تاریخچه خلاصه‌ای از نوترینوها و چرمنان

تاریخچه فیزیک نوترینوها با مقاله پائولی در ۱۹۳۰، آغاز شد^۱. که در آن، او وجود ذره‌ای جدید، نوترینو، را در جهت توضیح طیف مشاهده شده پیوسته الکترون، همراه و اپاشی β زای هسته‌ای، الزامی فرض کرد. در این فرضیه، نوترینو به صورت ذره‌ای بدون بار و با اسپین $1/2$ و جرم بسیار کوچک مورد نیاز بود. با استفاده از ایده پائولی، فرمی تئوری و اپاشی β زای خود را در سال ۱۹۳۴ پیشنهاد کرد^۲.

اولین شواهد تجربی بر همکنش‌های شامل نوترینو توسط رینز و کوان در جستجو برای و اپاشی معکوس β زا ($n + p \rightarrow e^+ + n + \bar{\nu}_e$) بدست آمد^۳. در سال ۱۹۶۲، نوترینو میوان توسط لدرمن، شوارتز و اشتبرگر کشف شد^۴ و ثابت شد که نوترینو میوان از نوترینو الکترون قابل تمیز می‌باشد. علاوه بر این دو نوترینو، وجود نوترینو تاو توسط پرل در سال ۱۹۷۵ استباط شد^۵ و سرانجام در سال ۲۰۰۰ توسط آزمایش DONUT کشف شد^۶.

با در دسترس قرار گرفتن هرچه بیشتر شواهد تجربی، دانش فیزیکدانان از برهمکنش ضعیف و فیزیک نوترینو بسیار پیشرفت کرد. همراه با پیشرفت‌های تئوری و تجربی، گلاشو^۷، ولینبرگ^۸ و سلام^۹ از تئوری برهمکنش ضعیف نوین که تبدیل به قسمتی از پیکر مدل استاندارد شد جانبداری کردند. این مدل توانایی توضیح تقریباً تمام فیزیک شناخته شده برهمکنش‌های الکترومغناطیسی و ضعیف، در حیطه تمام نتایج تجربی در گستره انرژی قابل دسترس در شتابدهنده‌های امروزی را دارد.

در مدل استاندارد ذرات بنیادی، نوترینو به عنوان لپتوانی بدون جرم در نظر گرفته می‌شود و تعداد انواع نوترینوها، سه عدد، که شدیداً مطلوب نتایج آزمایشات LEP است^{۱۰}، پذیرفته شده است. این سه نوترینو، به عنوان نوترینو الکترون (e_ν)، نوترینو میوان (μ_ν) و نوترینو تاو (τ_ν) در تراز پالپتونهای باردار الکترون (e)، میوان (μ) و تاو (τ) در برهمکنش ضعیف، شناخته شده‌اند.

بدون جرم بودن نوترینوها، الزامی ایجاد می‌کند، مبنی بر اینکه نوترینوها می‌توانند فقط بر حسب ویژه حالت طعم^{*} برهمکنش ضعیف، مانند e_ν , μ_ν و τ_ν بیان شوند. اگرچه در مدل استاندارد چنین فرض می‌شود

*Flavor Eigenstates

که نوترینوها بدون جرم اند ، اما از لحاظ تئوری جرم آنها الزاما صفر نیست . اگر نوترینوها در واقع دارای جرم های محدودی باشند ، می توانند علاوه بر ویژه حالات طعم ، بر حسب ویژه حالات چرمانشان نیز بیان شوند و بنابراین تعدادی سوال برای مطرح شدن وجود خواهد داشت : اینکه آیا جرم نوترینوها از نوع دیراک^{*} یا از نوع مایرانا^{*} است ؟ اینکه نوترینوهای جرم دار پایدار هستند یا خیر ؟ اینکه آیا در هم ریختگی طعمی در بخش لپتونی وجود دارد ؟ و اگر وجود دارد ، چه تفاوتی با آنچه که در بخش کوارکی مشاهده شده دارد ؟ و اینکه درباره نقض CP در بخش لپتونی چه می توانیم بگوییم ؟ و بسیاری سوالهای دیگر . بنابراین ، مشاهده جرم غیر صفر نوترینوها و در هم ریختگی طعمی در بخش لپتونی تاثیر بسیار زیادی بر فیزیک ذرات بنیادی حال حاضر خواهد داشت و کلیدهای مهمی برای اکتشاف فیزیک ماورای مدل استاندارد بدست خواهد داد .

تا کنون ، علی رقم تلاش های تجربی ای که در جهت اندازه گیری جرم نوترینوها به صورت مستقیم ، با استفاده از سینماتیک واپاشی ذرات مادر ، صورت گرفته است ، به علت جرم بسیار کوچک آنها و خطاهای عملی ، هیچ ازمایشی نتوانسته است جرم دقیقی برای آنها بدست آورد .
حساس ترین آزمایش برای اندازه گیری جرم نوترینو الکترون ، آزمایشی است که طیف الکترون تابش شده در واپاشی β زای تریتیوم : ${}^3_1H \rightarrow {}^3_2He + e^- + \bar{\nu}_e$ که در آن نقطه پایانی طیف در صورت جرم دار بودن نوترینو انتقال پیدا می کند^{۱۲} ، را اندازه گیری می کند . اگرچه آزمایشات متنوعی تا کنون تحلیل شده اند ، آنها فقط حدود بالایی از مرتبه چند eV را بدست می دهند .

بهترین حد جرم نوترینو میوان از اندازه گیری تکانه میوان در واپاشی پیون در PSI ، با مقداری برابر keV با سطح اطمینان ۹۰٪ بدست آمده است^{۱۳} .

در حال حاضر حد جرم نوترینو تاو بوسیله دکتور $ALEPH$ در آزمایشات LEP ، از سینماتیک واپاشی تاو به سه یا پنج پیون به اضافه یک نوترینو ، بدست آمده است . این نتایج حد بالایی $m_{\nu_t} < 18.2 MeV/c^2$ با سطح اطمینان^{*} ۹۵٪ را بدست می دهد^{۱۴} . حدود بالایی جرم نوترینوها در جدول ۱-۱ خلاصه شده است .

^{*}Dirac

^{*}Majorana

^{*}Confidence Level

جدول ۱-۱

حدود بالایی جرم نوترینوها

| طعم نوترینو | تکنیک عملی | حد بالایی |
|-------------|-------------------------------------|-----------------------------|
| ν_e | سینماتیک واپاشی β زای $_1^3H$ | $3\text{ eV}(95\%C.L.)$ |
| ν_μ | سینماتیک واپاشی π | $170\text{ keV}(90\%C.L.)$ |
| ν_τ | سینماتیک واپاشی τ | $18,2\text{ MeV}(95\%C.L.)$ |

فصل دوم

پدیده شناسی نوسانات نوترینو

۱-۲ نوسانات نوترینو

روش تجربی دیگری برای بررسی جرم محدود نوترینوها ، از طریق پدیده ای به نام "onusanat نوترینو" وجود دارد. در این بخش به بررسی نکات برجسته پدیده نوسانات نوترینو پرداخته خواهد شد. با پدیده نوسانات نوترینو ، پایستگی عدد لپتوپی نقض می شود ، زیرا جمله های جرمی نوترینو ، زمانی که بر حسب ویژه حالات طعم بیان شوند ، قطری نیستند . یک ویژه حالت طعم نوترینو ، $(\alpha = e, \mu, \tau) | \nu_\alpha \rangle$ در حالت کلی می تواند به صورت بسطی از ویژه حالات جرم ، $(i = 1, 2, 3) | \nu_i \rangle$ بیان شود :

$$| \nu_\alpha \rangle = \sum_i U_{\alpha i} | \nu_i \rangle \quad (1-2)$$

که $U_{\alpha i}$ یک عنصر از ماتریس یکانی MNS می باشد ، که ابتدا توسط ماکی ، ناکاوا و ساکاتا پیشنهاد شده^۱ و منتظر با ماتریس CKM در بخش کوارکی می باشد^۲ (در بخش ۲-۲ به تشریح این ماتریس در هم ریختگی پرداخته می شود).

در موردی که بخش لپتونی شامل سه طعم باشد ، U ماتریسی 3×3 با ۴ پارامتر مستقل : ۳ زاویه در هم ریختگی ، $\theta_{13}, \theta_{23}, \theta_{12}$ و یک فاز δ می باشد :

$$U = \begin{pmatrix} 1 & 0 & 0 \\ 0 & c_{23} & s_{23} \\ 0 & -s_{23} & c_{23} \end{pmatrix} \begin{pmatrix} c_{13} & 0 & s_{13}e^{-i\delta} \\ 0 & 1 & 0 \\ -s_{13}e^{i\delta} & 0 & c_{13} \end{pmatrix} \begin{pmatrix} c_{12} & s_{12} & 0 \\ -s_{12} & c_{12} & 0 \\ 0 & 0 & 1 \end{pmatrix}$$

$$= \begin{pmatrix} c_{12}c_{13} & s_{12}c_{13} & s_{13}e^{-i\delta} \\ -s_{12}c_{23} - c_{12}s_{23}s_{13}e^{i\delta} & c_{12}c_{23} - s_{12}s_{23}s_{13}e^{i\delta} & s_{23}c_{13} \\ s_{12}s_{23} - c_{12}c_{23}s_{13}e^{i\delta} & -c_{12}s_{23} - s_{12}c_{23}s_{13}e^{i\delta} & c_{23}c_{13} \end{pmatrix}$$

$$(2-2) \quad s_{ij} = \sin \theta_{ij}, c_{ij} = \cos \theta_{ij} \quad \text{که}$$

نوتروینو در برهمکنش ضعیف به صورت ویژه حالت طعم تولید می شود و برهمکنش می کند ، در حالیکه حالت نوتروینو ، با تبعیت ویژه حالت جرم از معادله شرودینگر ، با زمان تحول می یابد .

با اعمال معادله شرودینگر بر مولفه ν_i خواهیم داشت :

$$i \frac{\partial}{\partial t} |\nu_i(t)\rangle = H_\nu |\nu_i(t)\rangle = E_i |\nu_i(t)\rangle \quad (3-2)$$

که عملگر هامیلتونی در خلاء می باشد . جواب چنین می باشد :

$$|\nu_i(t)\rangle = e^{-iE_i t} |\nu_i\rangle \quad (4-2)$$

که $|\nu_i\rangle$ ، حالت ، در $t=0$ می باشد . متناظرا ، حالات طعم به صورت زیر منتشر می شوند :

$$|\nu_\alpha(t)\rangle = \sum_{i=1,2,3} U_{\alpha i} e^{-iE_i t} |\nu_i\rangle \quad (5-2)$$

با جایگذاری در معادله بالا خواهیم داشت :

$$|\nu_\alpha(t)\rangle = \sum_{\beta=e,\mu,\tau} \sum_{i=1,2,3} U_{\alpha i} e^{-iE_i t} U_{\beta i}^* |\nu_\beta\rangle \quad (7-2)$$

بنابراین ، دامنه گذار $|\nu_\beta\rangle$ به $|\nu_\alpha(t)\rangle$ چنین خواهد بود :

$$\langle \nu_\beta | \nu_\alpha(t) \rangle = \sum_{i=1,2,3} U_{\alpha i} U_{\beta i}^* e^{-iE_i t} \quad (7-2)$$

و نهایتاً احتمال گذار چنین می باشد :

$$P_{\alpha \rightarrow \beta} = \left| \langle \nu_\beta | \nu_\alpha(t) \rangle \right|^2 \quad (8-2)$$

$$E_k - E_i \approx \frac{(m_k^2 - m_i^2)}{2P} = \frac{\Delta m_{ki}^2}{2P} \quad (P \gg m_{i,k}) \quad \text{و} \quad t \approx L \quad \text{با} \quad c = 1$$

و $P \approx E$ می رسیم به :

$$P_{\alpha \rightarrow \beta}(E, L) = \sum_{i=1,2,3} \sum_{k=1,2,3} U_{\alpha i} U_{\beta i}^* U_{\alpha k}^* U_{\beta k} \exp\left(i \frac{\Delta m_{ki}^2 L}{2E}\right) \quad (9-2)$$

اهمیت ماتریس در هم ریختگی در این است که ، عناصر این ماتریس احتمال نوسانات را مشخص می کنند .

بنابراین در ادامه به توضیحی اجمالی درباره ماتریس در هم ریختگی کوارکها ، که مشابه ماتریس در هم

ریختگی برای نوترینو ها می باشد ، می پردازیم .

۲-۲ بررسی ماتریس درهم ریختگی برای کوارک ها (CKM)

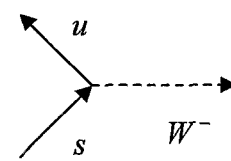
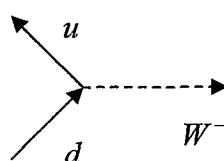
برای درک ماتریس درهم ریختگی بخش لپتونی (ماتریس M_{NS}) ، کافیست به بررسی ماتریس CKM پردازیم زیرا از لحاظ تئوری این ماتریس های درهم ریختگی ، هم ارز می باشند.

در بررسی برهمکنش های ضعیف باردار کوارکها ، با این واقعیت موواجه می شویم که در جفت شدگی W با کوارکها ، علاوه بر برهمکنش هایی به شکل $d \rightarrow u + W^-$ (فقط یک نسل) ، برهمکنش هایی با جفت شدگی $s \rightarrow u + W^-$ نیز وجود دارد.

به بیان دیگر ، برهمکنش های ضعیف ، هویت جداگانه نسلها را کاملاً محترم نمی شمارند.

$$\begin{pmatrix} u \\ d \end{pmatrix}, \begin{pmatrix} c \\ s \end{pmatrix}, \begin{pmatrix} t \\ b \end{pmatrix} \quad \text{نسلهای کوارکها}$$

در سال ۱۹۶۳ (هنگامی که u ، d ، s تنها کوارکهای شناخته شده بودند) کابیبو^۱ پیشنهاد کرد که رأس W^- حامل ضریب $\cos\theta_C$ است ، در حالیکه رأس $s \rightarrow u + W^-$ دارای ضریب $\sin\theta_C$ است ، و بجز این مسئله ، جفت شدگی لپتونی آنها یکسان است .



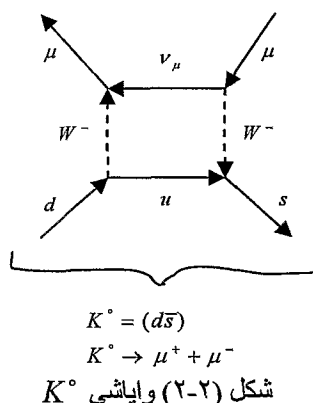
$$\frac{-ig_W}{2\sqrt{2}} \gamma^\mu (1 - \gamma^5) \cos\theta_C$$

$$\frac{-ig_W}{2\sqrt{2}} \gamma^\mu (1 - \gamma^5) \sin\theta_C$$

شکل (۱-۲)
دو حالت ممکن جفت شدگی کوارک u با W^-

فرایند با تغییر شکفتی ($s \rightarrow u + W^-$) آشکارا ضعیف‌تر از فرایندی است که شکفتی را پایسته نگه می‌دارد ($d \rightarrow u + W^-$). بنابراین از قرار معلوم زاویه در هم ریختگی یا "زاویه کابیبو" θ_C نسبتاً کوچک است. به لحاظ تجربی: $\theta_C = 13.1^\circ$. یعنی برهمکنش‌های ضعیف تقریباً نسل‌های کوارکی را محترم می‌شمارند، اما نه کاملاً.

نظریه کابیبو در مورد دهها آهنگ واپاشی بسیار موفق بود، اما یک مسئله نگران کننده باقی ماند: این تصویر به K^0 اجازه می‌داد تا به جفت $\mu^+ \mu^-$ واپاشی کند. دامنه باید با $\sin\theta_C \cos\theta_C$ متناسب باشد، اما آهنگ محاسبه شده، بسیار بزرگتر از حد تجربی مجاز است.



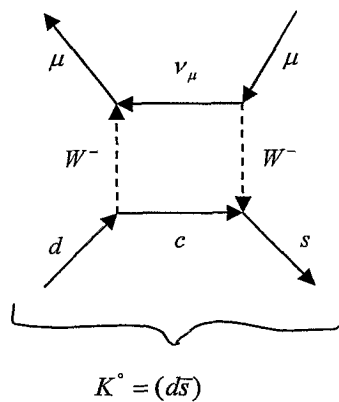
حل این پارادوکس را گلاشو، ایلیوپولوس و مایانی^۳ (GIM) در سال ۱۹۷۰ پیشنهاد کردند. آنها کوارک چهارمی (c) را مطرح کردند (این تاریخ چهار سال قبل از انقلاب نوامبر بود که اولین دلیل تجربی سرراست را بر وجود کوارک افسون تولید کرد) که جفت شدگی آن با s , d به ترتیب شامل $-\sin\theta_C$ و $\cos\theta_C$ بود:

$$-\frac{ig_W}{2\sqrt{2}} \gamma^\mu (1 - \gamma^5) (-\sin\theta_C)$$

$$-\frac{ig_W}{2\sqrt{2}} \gamma^\mu (1 - \gamma^5) \cos\theta_C$$

شکل (۳-۲)
دو حالت ممکن جفت شدگی کوارک c با W^-

در ساز و کار (GIM) ، نمودار شکل (۲-۲) را نمودار متناظر با c بجای u (شکل (۲-۴)) خنثی می کند ، زیرا این بار دامنه با $\sin\theta_C \cos\theta_C$ - متناسب است.



شکل (۲-۴)
GIM ساز و کار

طرح کابیبو - GIM تعبیر ساده ای دارد :
بجای کوارک های فیزیکی (ویژه پایه های جرم) d ، s ، حالت های صحیح (ویژه پایه های بر همکنش ضعیف) که برای بر همکنش های ضعیف استفاده می شوند d' و s' هستند که به صورت زیر

$$d' = d \cos\theta_C + s \sin\theta_C \quad \text{و} \quad s' = -d \sin\theta_C + s \cos\theta_C$$

$$\begin{pmatrix} d' \\ s' \end{pmatrix} = \begin{pmatrix} \cos\theta_C & \sin\theta_C \\ -\sin\theta_C & \cos\theta_C \end{pmatrix} \begin{pmatrix} d \\ s \end{pmatrix}$$

با به شکل ماتریسی مقابل می باشند :

$$\begin{pmatrix} u \\ d' \end{pmatrix}, \begin{pmatrix} c \\ s' \end{pmatrix} \quad W \text{ ها با حالت های (چرخیده کابیبو) :}$$

$$\begin{pmatrix} \nu_\mu \\ \mu \end{pmatrix}, \begin{pmatrix} \nu_e \\ e \end{pmatrix} \quad \text{درست همانند زوجها لپتونی جفت می شوند .}$$

جفت شدگی آنها با ذرات فیزیکی (حالتهای با طعم مشخص) از رابطه های زیر بدست می آید :

$$\begin{pmatrix} c \\ s' \end{pmatrix} = \begin{pmatrix} c \\ -d\sin\theta_C + s\cos\theta_C \end{pmatrix} \text{ و } \begin{pmatrix} u \\ d' \end{pmatrix} = \begin{pmatrix} u \\ d\cos\theta_C + s\sin\theta_C \end{pmatrix} \quad (10-2)$$

یعنی $d \rightarrow u + W^-$ حامل ضریب $\sin\theta_C$ و نظایر آن است.

در آن زمان ، ساز و کار GIM ، با معرفی کوارک جدیدی ، برای تثیت یک نقص فنی مرموز در نظریه ای آزموده نشده ، کمی نامعقول به نظر می رسد. اما این شک با کشف $(c\bar{c})\psi$ در سال ۱۹۷۴ فروکش کرد. در این فاصله ، کوبایاشی و ماسکاوا^۳ طرح کابیبو- GIM را چنان تعمیم دادند که از عهده هر سه نسل کوارک ها برآید.

جالب توجه است که کوبایاشی و ماسکاوا نسل سوم کوارک را قبل از آنکه نسل دوم کامل شود و خیلی قبل از آنکه شواهد تجربی برای نسل سوم لپتونها یا کوارکها وجود داشته باشد ، پیشنهاد کرده بودند. انگیزه آنها ، تمايل به توجيه نقض CP در چارچوب طرح کابیبو - GIM بود. معلوم شده بود که بدین منظور باید عدد مختلطی را در ماتریس دوران وارد می کردند ، اما این جمله را همواره می توان با تعریف مجدد مناسب فاز های کوارکی حذف کرد ، مگر آنکه به سراغ ماتریس 3×3 می رفتند و در نتیجه به سه نسل رهنمون شدند.

$\begin{pmatrix} u \\ d' \end{pmatrix}, \begin{pmatrix} c \\ s' \end{pmatrix}, \begin{pmatrix} t \\ b' \end{pmatrix}$ نسلهای برهمکنش ضعیف :

با حالتهای کوارک فیزیکی نوسط ماتریس کوبایاشی - ماسکاوا ارتباط دارند(این ماتریس در هم ریختگی (کوبایاشی - ماسکاوا) ویژه پایه های جرم را به ویژه پایه های برهمکنش ضعیف تبدیل می کند) :